

МИНИСТЕРСТВО НАУКИ И ВЫСШЕГО ОБРАЗОВАНИЯ  
РОССИЙСКОЙ ФЕДЕРАЦИИ

МГТУ им Н.Э.Баумана

Факультет ФН

Кафедра вычислительной математики и математической физики

Соколов Арсений Андреевич

Домашнее задания №4  
по теории случайных процессов

3 курс, группа ФН11-63Б

Вариант 19

Преподаватель

\_\_\_\_\_ Т. В. Облакова

«\_\_\_» \_\_\_\_\_ 2020 г.

Москва, 2020 г.

# Содержание

1	Формирование двумерного винеровского процесса . . . . .	4
2	Построение графиков . . . . .	6
3	Вычисление характеристик двумерного винеровского процесса .	8
3.1	Вариации компонент. Среднее значение вариации . . . . .	8
3.2	Суммы квадратов приращений. Среднее значение суммы квадратов приращений . . . . .	9
4	Рассмотрение уменьшенного вдвое шага $h$ . . . . .	10
5	Вероятность достижения уровня $z$ в момент $T$ . . . . .	14
5.1	Эмпирическая вероятность . . . . .	14
5.2	Теоретическая вероятность . . . . .	17
6	Выводы . . . . .	18

# Моделирование двумерного винеровского процесса

1. На отрезке  $[0, T]$  с шагом  $h$  смоделировать  $n$  траекторий двумерного винеровского процесса с интенсивностью  $\sigma$ .
2. Вывести на печать несколько траекторий.
3. Для каждой траектории вычислить:
  - 3.1 вариации компонент  $\left( \sum_k \left| W_{(k+1)h}^{(1)} - W_{kh}^{(1)} \right|, \sum_k \left| W_{(k+1)h}^{(2)} - W_{kh}^{(2)} \right| \right)$ ,  
а так же среднее значение вариации  $\left( \text{Var}^{(1)}(h), \text{Var}^{(2)}(h) \right)$  по всем траекториям;
  - 3.2 суммы квадратов приращений компонент  $\left( \sum_k \left| W_{(k+1)h}^{(1)} - W_{kh}^{(1)} \right|^2, \sum_k \left| W_{(k+1)h}^{(2)} - W_{kh}^{(2)} \right|^2 \right)$ ,  
а так же среднее значение этих сумм  $(\text{SqVar}^{(1)}(h), \text{SqVar}^{(2)}(h))$ .
4. Уменьшить значение  $h$  в два раза и вычислить  $\left( \text{Var}^{(1)}\left(\frac{h}{2}\right), \text{Var}^{(2)}\left(\frac{h}{2}\right) \right)$  и  $(\text{SqVar}^{(1)}\left(\frac{h}{2}\right), \text{SqVar}^{(2)}\left(\frac{h}{2}\right))$ .
5. Вычислить теоретическую вероятность  $P(|\bar{W}_T| \geq z)$  и сравнить ее с эмпирической вероятностью достижения указанного уровня  $z$  в момент  $T$ .

## Начальные данные

$$T = 4, \quad n = 160, \quad \sigma = 0.75, \quad h = 0.02, \quad z = 2.5$$

# 1 Формирование двумерного винеровского процесса

Одномерный винеровский процесс, описывающий броуновское движение представляет собой кумулятивную сумму гауссовых случайных величин вида  $N(0, \sigma^2 \cdot h)$ . Тогда в двумерном случае второй элемент пары будет формироваться аналогично первому. Для формирования  $n$  различных траекторий остаётся реплицировать вышеописанную операцию  $n$  раз.

Введём начальные данные:

```
> addTaskCallback(function(...) {set.seed(1337);TRUE})
> Tt <- 4
> n <- 160
> sigma <- 0.75
> h <- 0.01
> z <- 2.5
> N <- Tt/h
> N
[1] 400
```

Функция для формирования одной траектории имеет вид:

```
pair.func <- function()
{
  pair <- t(replicate(N,
    sapply(c(1,2), function(y) rnorm(1, 0, h * sigma^2)),
    simplify = T))
  return(apply(rbind(c(0,0),pair), 2, cumsum))
}
```

Теперь можем ее реплицировать  $n = 160$  раз и получить требуемый набор из  $n = 160$  двумерных винеровских процессов:

```
> pairs.extnd.list <- replicate(n, pair.func(), F)
> pairs.list <- Map(function(x) x[c(T,F),], pairs.extnd.list)
```

По типу данных переменная `pairs.list` представляет собой лист(список) матриц. Например, распечатаем верхние 4 элемента первой траектории.

```
> head(pairs.list[[1]], 4)
      [,1]      [,2]
[1,]  0.000000000  0.000000000
[2,] -0.009801647  0.01316957
[3,]  0.009304977  0.32247326
[4,]  0.230552785  0.16546962
```

Можем так же для примера привести значения другой траектории:

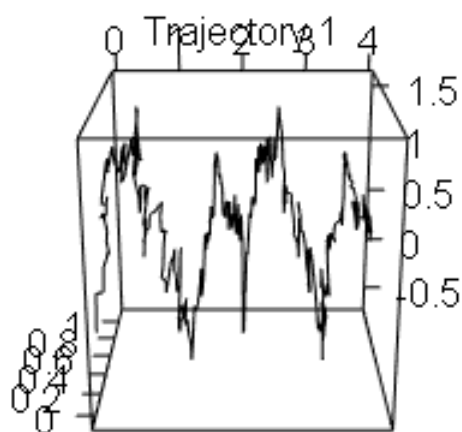
```
> ### Для 6-ой траектории:
> head(pairs.list[[6]],4)
> head(pairs.list[[6]],4)
      [,1]      [,2]
[1,]  0.000000000  0.000000000
[2,] -0.01351392 -0.075122664
[3,] -0.01128064  0.002188971
[4,] -0.27148618 -0.129458504
> tail(pairs.list[[6]],4)
      [,1]      [,2]
[198,] -0.5810057 -1.660147
[199,] -0.5118538 -1.687288
[200,] -0.5211355 -1.779348
[201,] -0.4496010 -1.613658
```

Как Вы могли заметить, в начальных данных в коде используется значение  $h = 0.01$ . Это связано с особенностями реализации решения пункта 4. Кроме того можно заметить, что вместо ожидаемого `replicate` для `pairs.list` для него используется паттерн функционального программирования `Map`, а простой `replicate` используется для формирования `pairs.extnd.list`.

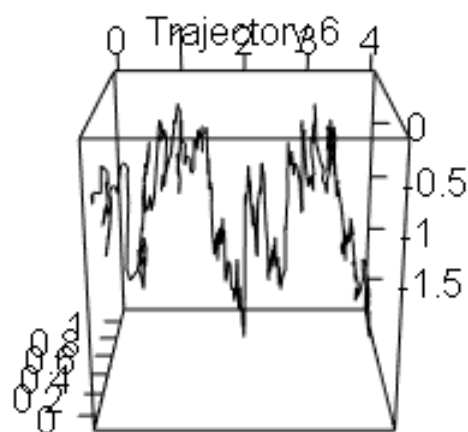
## 2 Построение графиков

Рассмотрим два типа возможных визуализаций. Во-первых, мы можем изобразить в объёме движение траектории, отложив по одной из осей время. Во-вторых, можно изобразить классическую броуновскую картину на двумерном графике, где точками будут являться соответствующие пары для каждой из траекторий, причём последующие точки будут соединены отрезками прямых.

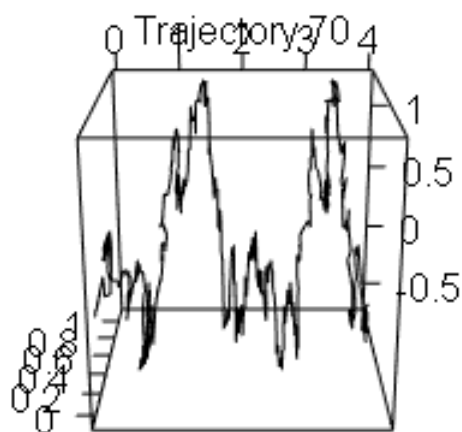
Изобразим в объёме несколько траекторий:



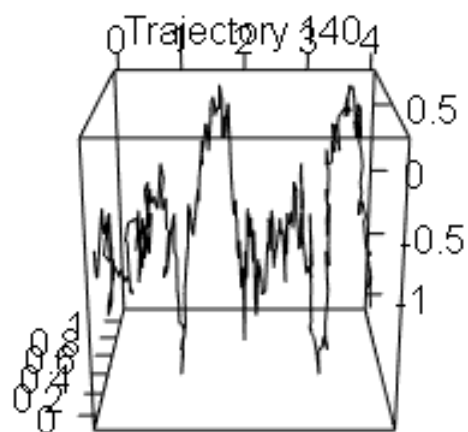
Time



Time



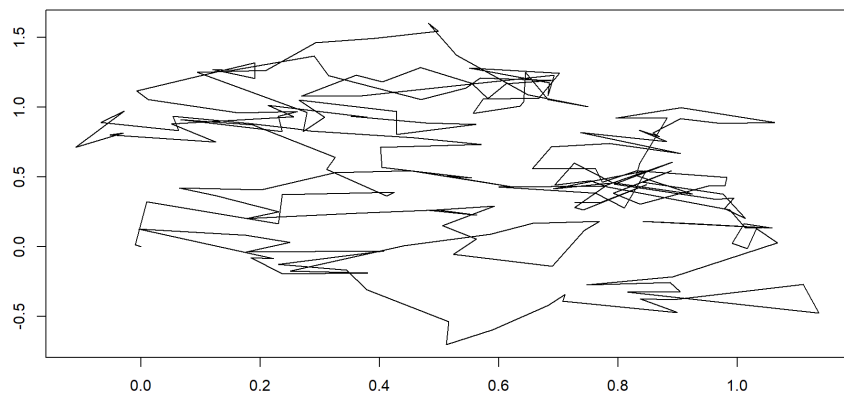
Time



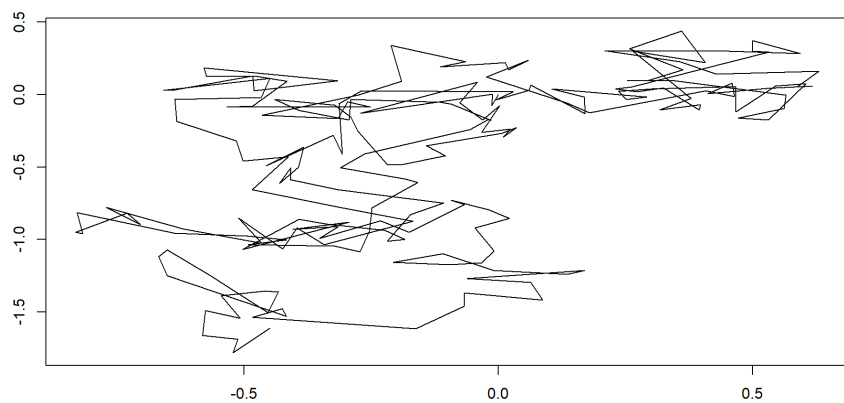
Time

Далее, для этих же траекторий построим классические графики броуновского движения:

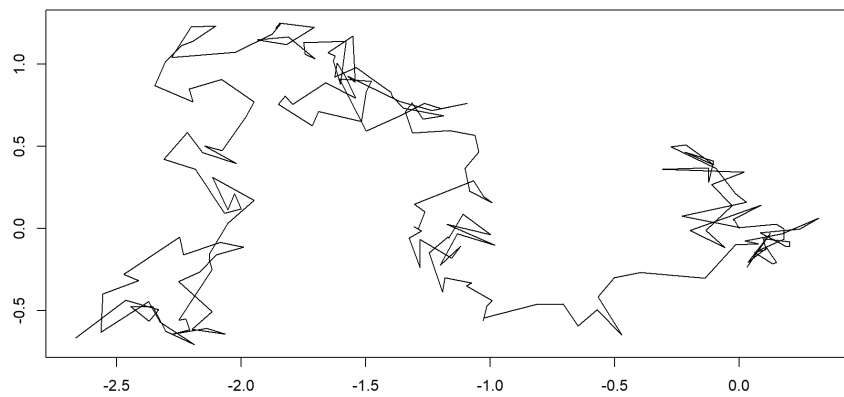
**Trajectory 1,  $h = 0.02$**



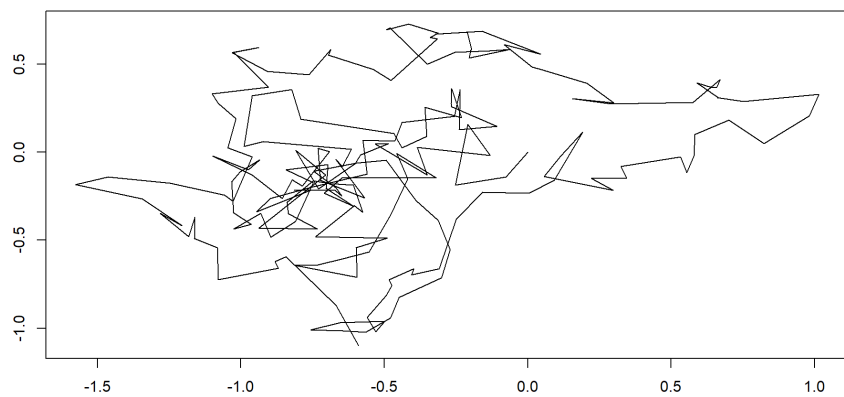
**Trajectory 6,  $h = 0.02$**



**Trajectory 70,  $h = 0.02$**



**Trajectory 140,  $h = 0.02$**



## 3 Вычисление характеристик двумерного винеровского процесса

### 3.1 Вариации компонент. Среднее значение вариации

Найдём вариации компонент  $\left( \sum_k \left| W_{(k+1)h}^{(1)} - W_{kh}^{(1)} \right|, \sum_k \left| W_{(k+1)h}^{(2)} - W_{kh}^{(2)} \right| \right)$ :

```
> var_foo <- function(y)
+ {
+   sum(abs(diff(y)))
+ }
>
> vars <- t(sapply(pairs.list, function(x) apply(x, 2, var_foo)))
```

Выведем на печать вариации компонент для первых и последних пяти траекторий:

```
> head(vars,5)
      [,1]      [,2]
[1,] 17.46365 18.10675
[2,] 16.82400 16.25767
[3,] 17.39559 16.03837
[4,] 17.33865 15.00066
[5,] 16.05115 16.93480
> tail(vars,5)
      [,1]      [,2]
[156,] 19.99023 17.77190
[157,] 16.35341 16.54479
[158,] 16.62718 17.14943
[159,] 17.45334 18.07495
[160,] 16.78373 17.36628
```

Тогда среднее значение вариации  $\left( \text{Var}^{(1)}(h), \text{Var}^{(2)}(h) \right)$  по всем траекториям:

```
> mean_vars <- colMeans(vars)
> mean_vars
[1] 17.01906 16.91866
```



### 3.2 Суммы квадратов приращений. Среднее значение суммы квадратов приращений

Найдём суммы квадратов приращений компонент

$$\left( \sum_k \left| W_{(k+1)h}^{(1)} - W_{kh}^{(1)} \right|^2, \sum_k \left| W_{(k+1)h}^{(2)} - W_{kh}^{(2)} \right|^2 \right):$$

```
> sq.var_foo <- function(y)
+ {
+   sum(abs(diff(y))^2)
+ }
>
> sq.vars <- t(sapply(pairs.list, function(x) apply(x, 2, sq.var_foo)))
```

Выведем на печать вариации компонент для первых и последних пяти траекторий:

```
> head(sq.vars, 5)
      [,1]      [,2]
[1,] 2.333261 2.598706
[2,] 2.208715 2.124458
[3,] 2.313816 2.017766
[4,] 2.368920 1.849391
[5,] 1.961947 2.345290
> tail(sq.vars, 5)
      [,1]      [,2]
[156,] 3.147324 2.232487
[157,] 2.128623 2.094030
[158,] 2.105166 2.304816
[159,] 2.478495 2.442681
[160,] 2.163211 2.254925
```

Найдём среднее значение этих сумм ( $\text{SqVar}^{(1)}(h), \text{SqVar}^{(2)}(h)$ ):

```
> mean_sq.vars <- colMeans(vars)
> mean_sq.vars
[1] 2.285641 2.243726
```

## 4 Рассмотрение уменьшенного вдвое шага $h$

Для более детального изучения картины поведения броуновского движения уменьшим шаг  $h$  вдвое до  $\tilde{h} = \frac{h}{2} = 0.01$ . Прделаем описанные выше действия для получившегося двумерного винеровского процесса.

Найдём вариации компонент  $\left( \sum_k \left| W_{(k+1)\tilde{h}}^{(1)} - W_{k\tilde{h}}^{(1)} \right|, \sum_k \left| W_{(k+1)\tilde{h}}^{(2)} - W_{k\tilde{h}}^{(2)} \right| \right)$ :

```
> vars.extnd <- t(sapply(pairs.extnd.list,  
+   function(x) apply(x, 2, var_foo)))  
> head(vars.extnd,5)  
      [,1]      [,2]  
[1,] 24.26126 25.06274  
[2,] 25.18078 23.63542  
[3,] 23.54455 24.56995  
[4,] 23.46042 23.20730  
[5,] 22.35894 22.91436  
> tail(vars.extnd,5)  
      [,1]      [,2]  
[156,] 26.86954 23.84102  
[157,] 23.28283 22.33214  
[158,] 25.28249 24.57040  
[159,] 23.64685 25.76409  
[160,] 24.12964 23.42405
```

А так же среднее значение вариации  $\left( \text{Var}^{(1)}(\tilde{h}), \text{Var}^{(2)}(\tilde{h}) \right)$ :

```
> mean_vars.extnd <- colMeans(vars.extnd)  
> mean_vars.extnd  
[1] 24.02536 23.96380
```

Далее ищем суммы квадратов приращений компонент

$\left( \sum_k \left| W_{(k+1)\tilde{h}}^{(1)} - W_{k\tilde{h}}^{(1)} \right|^2, \sum_k \left| W_{(k+1)\tilde{h}}^{(2)} - W_{k\tilde{h}}^{(2)} \right|^2 \right)$ :

```
> sq.vars.extnd <- t(sapply(pairs.extnd.list,  
+   function(x) apply(x, 2, sq.var_foo)))  
> head(sq.vars.extnd ,4)  
      [,1]      [,2]  
[1,] 2.326814 2.470255  
[2,] 2.413601 2.326623  
[3,] 2.106365 2.234015  
[4,] 2.244770 2.045897
```

```
> tail(sq.vars.extnd ,4)
[,1]      [,2]
[157,] 2.137992 1.946296
[158,] 2.447775 2.410783
[159,] 2.224500 2.576072
[160,] 2.201613 2.195686
```

А так же среднее значение этих сумм ( $\text{SqVar}^{(1)}(\tilde{h}), \text{SqVar}^{(2)}(\tilde{h})$ )

```
> mean_sq.vars.extnd <- colMeans(vars.extnd )
> mean_sq.vars.extnd
[1] 2.266860 2.257994
```

Можем сравнить полученные средние для двух значений  $h$ . Первый и третий столбец соответствуют  $h = 0.02$ , а второй и четвёртый –  $\tilde{h} = 0.01$ :

```
> compare_table <- data.table(mean_vars = mean_vars,
+                               mean_vars.extnd = mean_vars.extnd,
+                               mean_sq.vars = mean_sq.vars,
+                               mean_sq.vars.extnd = mean_sq.vars.extnd)
> compare_table
mean_vars mean_vars.extnd mean_sq.vars mean_sq.vars.extnd
1:  17.01906      24.02536    2.285641      2.266860
2:  16.91866      23.96380    2.243726      2.257994
```

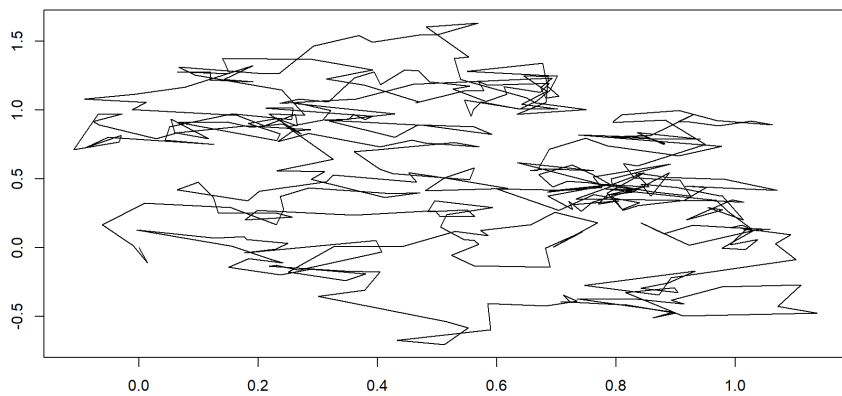
Или в относительных величинах:

```
> compare_table.rel <- data.table(compare_table[,1] / compare_table[,2],
+                                 compare_table[,3] / compare_table[,4])
> compare_table.rel
mean_vars mean_sq.vars
1: 0.7083788    1.0082851
2: 0.7060092    0.9936808
```

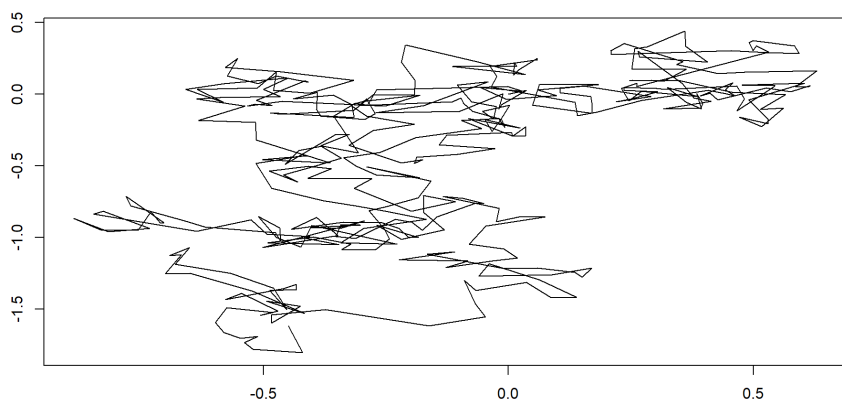
Видим, что отличия в средних значениях суммы квадратов приращений компонент существенно меньше, чем отличия у средних значений вариаций компонент. Это связано с тем, что траектории винеровского процесса имеют неограниченную вариацию (сумма приращений при измельчении разбиения стремится к бесконечности). С другой стороны, суммы *квадратов* приращений при измельчении стремятся к дисперсии  $T\sigma^2 = 4 \cdot 0.75^2 = 2.25$ , что хорошо соотносится с полученными эмпирическими значениями.

Наконец построим графики:

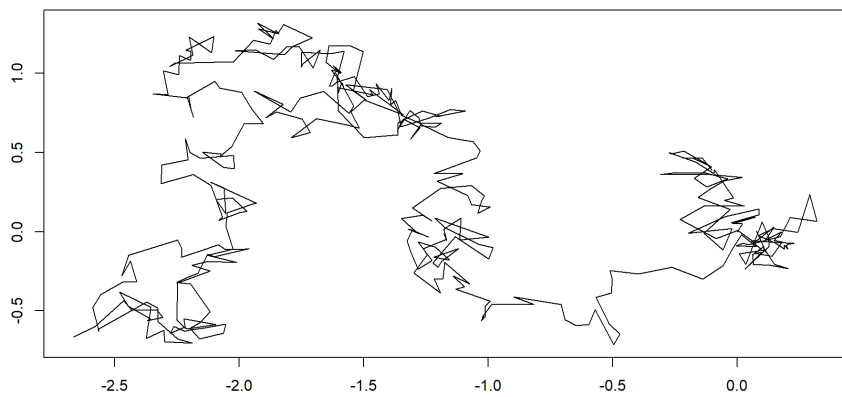
**Trajectory 1,  $h = 0.01$**



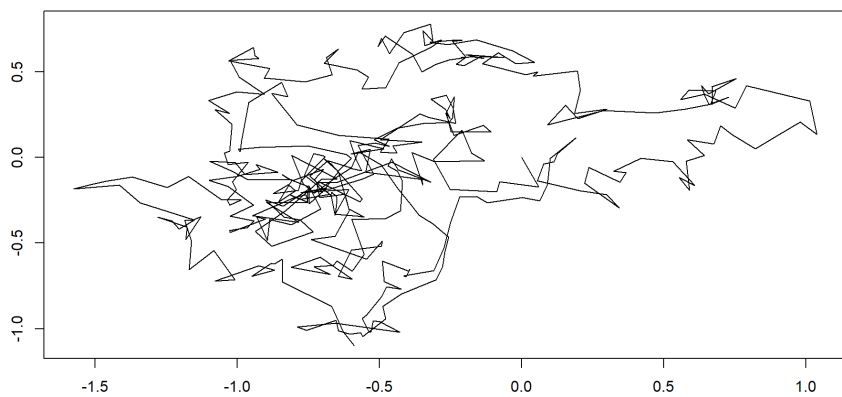
**Trajectory 6,  $h = 0.01$**



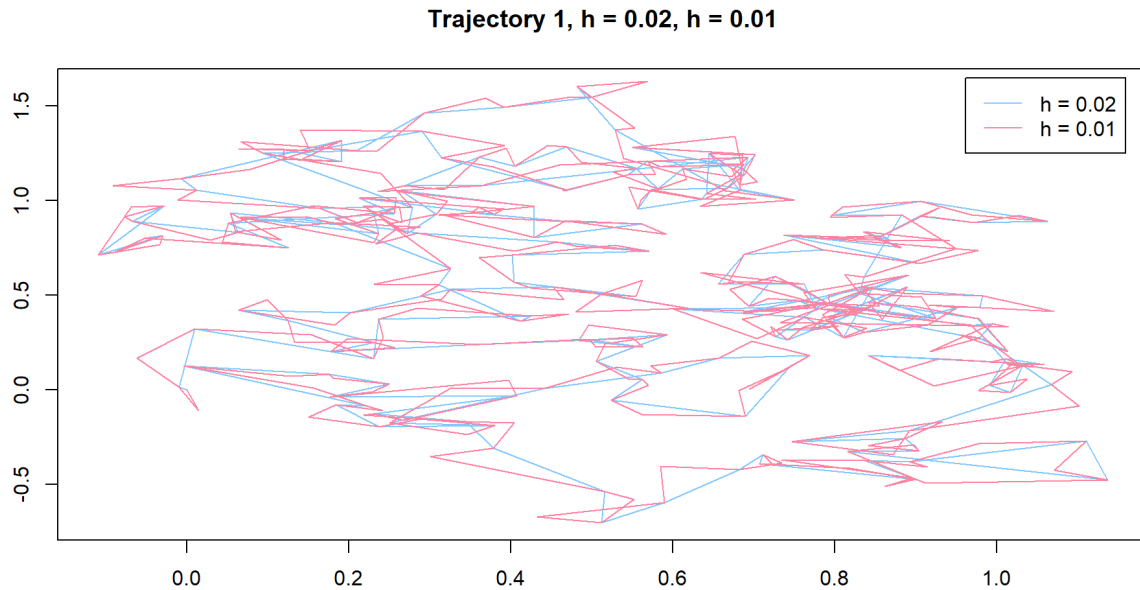
**Trajectory 70,  $h = 0.01$**



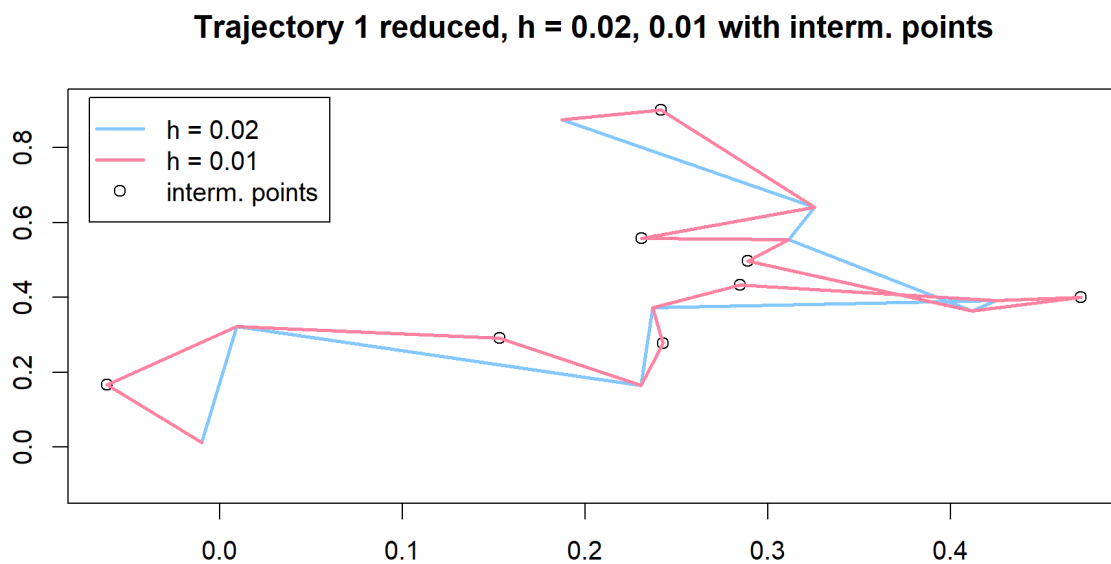
**Trajectory 140,  $h = 0.01$**



Кроме того, можем построить совмещённые графики для соответствующих траекторий при  $h = 0.02$  и  $\tilde{h} = 0.01$ .



В связи с большим количеством точек график выглядит не очень информативным. Рассмотрим в приближении несколько точек детальнее:



Теперь можем видеть разницу между траекториями с  $h = 0.02$  и  $\tilde{h} = \frac{h}{2} = 0.01$ . Уменьшение в два раза шага позволяет получить «промежуточные» точки при рассмотрении броуновского движения частицы.

## 5 Вероятность достижения уровня $z$ в момент $T$

### 5.1 Эмпирическая вероятность

Рассчитаем эмпирическую вероятность достижения уровня  $z$  в момент  $T$ . Будем интерпретировать это как количество траекторий, которые в момент времени  $T = 4$  находятся за пределами окружности радиуса  $z = 2.5$ . Это соответствует значению евклидовой метрики на последней точке для каждой траектории. То есть:

```
> euc_metric <- function(y)
+ {
+   sqrt(sum(y[dim(y)[1],]^2))
+ }
>
> z.sc <- as.numeric(Map(euc_metric, pairs.list))
```

Выведем на печать первые и последние 5 элементов полученных значений:

```
> head(z.sc,5)
[1] 0.7919054 0.7308046 1.7206144 1.1162275 1.2255906
> tail(z.sc,5)
[1] 2.0275873 1.5579907 0.7739086 1.5382913 2.5450301
```

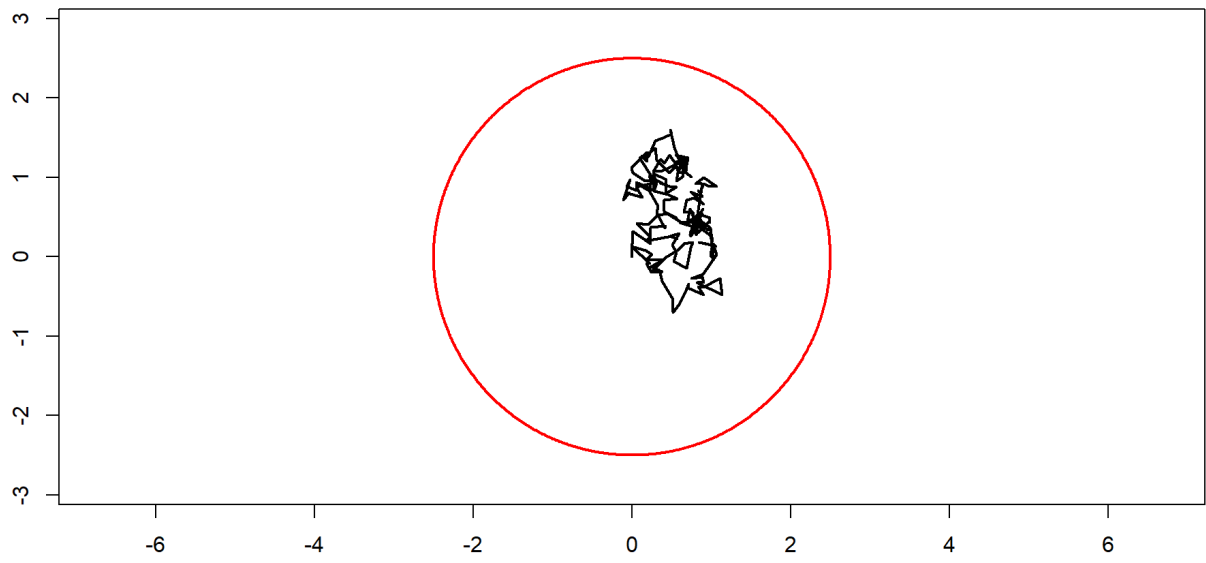
Теперь можем рассчитать долю траекторий, последняя точка которых находится вне окружности радиуса  $z = 2.5$ :

```
> pos.sc <- length(z.sc[z.sc > z])
> pos.sc
[1] 42
> z.prob <- pos.sc/((N/2)+1)
> z.prob
[1] 0.2089552
```

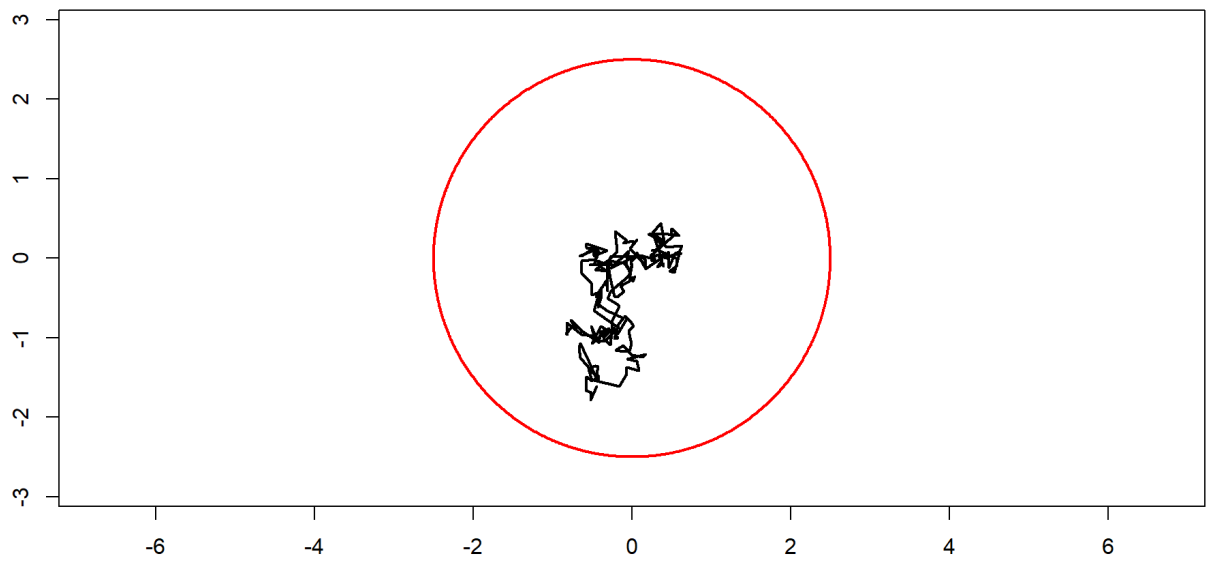
Значение  $(N/2)+1$  обусловлено особенностями реализации, которые были описаны выше. Длина каждой траектории, как и требуется по условию равняется  $\frac{T}{h} + 1 = 200 + 1 = 201$ , где дополнительная единица соответствует точке  $(0; 0)$ . Значение  $N$  же равняется 400, так как оно используется в формировании траекторий `pairs.extnd.list` при  $\tilde{h} = \frac{h}{2} = 0.01$  для выполнения пункта 4.

Кроме того, можем изобразить несколько графиков, отражающих взаимное расположение траектории, окружности радиуса  $z = 2.5$  и точки, соответствующей последнему положению частицы:

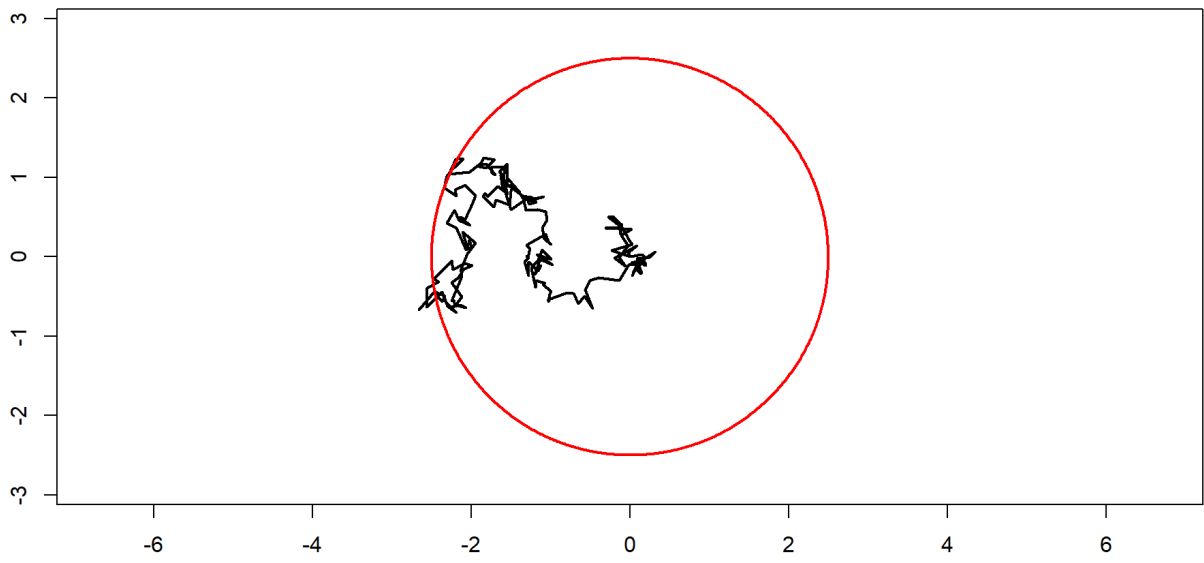
**Trajectory 1,  $h = 0.02$ ,  $z = 2.5$**



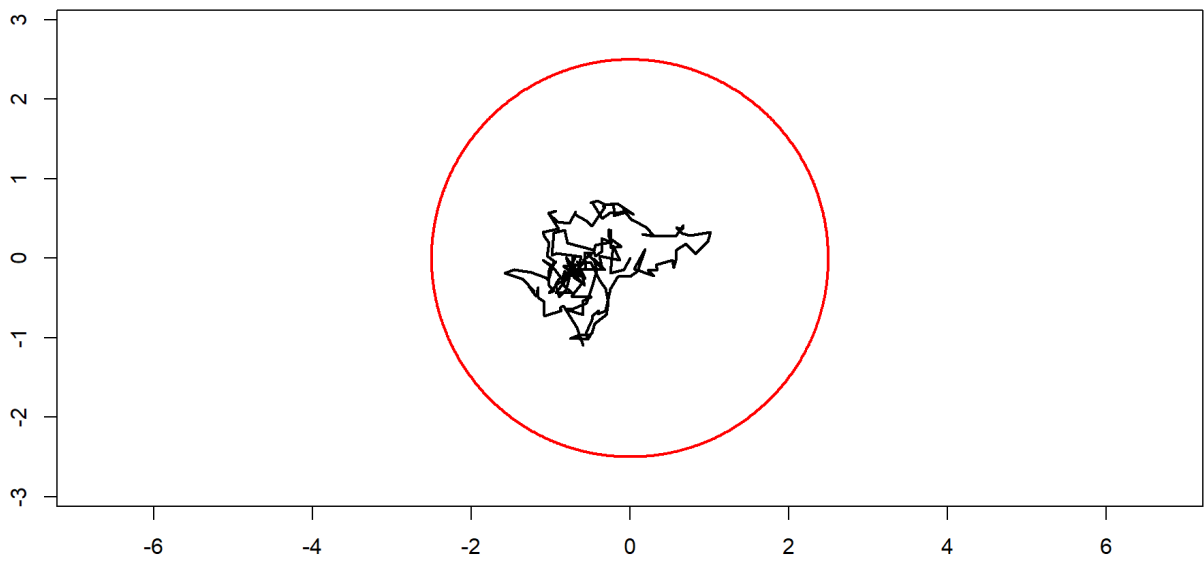
**Trajectory 6,  $h = 0.02$ ,  $z = 2.5$**



**Trajectory 70,  $h = 0.02$ ,  $z = 2.5$**



**Trajectory 140,  $h = 0.02$ ,  $z = 2.5$**





## 5.2 Теоретическая вероятность

Рассчитаем теоретическую вероятность  $P(|\bar{W}_T| \geq z)$  того, что в момент времени  $T = 4$  Траектории достигнут уровня  $z = 2.5$ . Так как  $|\bar{W}_T|$  означает евклидову метрику, то есть  $|\bar{W}_T| = \sqrt{(W_T^{(1)})^2 + (W_T^{(2)})^2}$ , причём  $W_T^{(1)} \sim N(0, \sigma\sqrt{T})$  и  $W_T^{(2)} \sim N(0, \sigma\sqrt{T})$ , то по свойства нормального распределения:

$$\frac{(W_T^{(1)})^2}{\sigma^2 T} + \frac{(W_T^{(2)})^2}{\sigma^2 T} \sim \chi^2(2)$$

Тогда искомая вероятность будет равна:

$$P\left(\left(\frac{W_T^{(1)}}{\sigma\sqrt{T}}\right)^2 + \left(\frac{W_T^{(2)}}{\sigma\sqrt{T}}\right)^2 \geq \frac{z^2}{\sigma^2 T}\right) = 1 - F_{\chi^2(2)}\left(\frac{z^2}{\sigma^2 T}\right)$$

Имеем:

```
> z.theor <- 1 - pchisq(z^2/(sigma^2 * Tt), 2)
> z.theor
[1] 0.2493522
```

Видим, что теоретическое и эмпирические значения вероятностей достаточно близки.

## 6 Выводы

В результате проделанной работы было

- сформировано  $n = 160$  двумерных винеровских процессов на интервале  $[0; T] = [0; 4]$  интенсивности  $\sigma = 0.75$  с шагом  $h = 0.05$ , моделирующих броуновское движение;
- для каждой траектории вычислены вариации компонент и среднее значение вариации по всем траекториям
- для каждой траектории вычислены суммы квадратов приращений компонент и среднее значение этих сумм по всем траекториям
- рассмотрено «под микроскопом» движение броуновской частицы путем уменьшения в два раза шага  $h$
- Вычислены теоретическая и эмпирическая вероятности достижения траекториями уровня  $z = 2.5$  в момент времени  $T = 4$